

## الگوریتم رمزنگاری تصویر با استفاده از تابع درهم‌ریز و روش خودوقتی

بنیامین نوروزی<sup>۱</sup>، جعفر شمسی<sup>۲</sup>، شیرین صابریان<sup>۳</sup>، ستار میرزا کوچکی<sup>۴</sup>، فرهاد یوسفی<sup>۵</sup>

۱. دانشجوی دکتری برق، دانشگاه علم و صنعت ایران، Benyamin\_Norouzi@elec.iust.ac.ir

۲. پژوهشکده الکترونیک، دانشکده مهندسی برق دانشگاه علم و صنعت ایران

۳. دانشجوی کارشناسی ارشد، دانشگاه آزاد اسلامی واحد خوراسگان

۴. دانشیار دانشکده برق دانشگاه علم و صنعت ایران

۵. مدیر پژوهشکده الکترونیک دانشگاه علم و صنعت ایران

تاریخ دریافت: ۹۲/۸/۲۵ تاریخ پذیرش: ۹۳/۳/۲۸

### چکیده

در این مقاله، یک الگوریتم جدید بر پایه روش خودوقتی و تابع درهم‌ریز برای رمزنگاری تصویر پیشنهاد شده است. در روش خودوقتی پیشنهادی، تصویر به چهار زیرتصویر تقسیم می‌شود که هر زیرتصویر تنها با استفاده از ماسک‌هایی که از زیرتصویر دیگر ساخته شده‌اند، رمز می‌شود. هدف از این مرحله افزایش حساسیت الگوریتم به جزئی‌ترین تغییرات در تصویر اصلی است. در مرحله بعد، یک ماتریس  $8 \times 8$  کاملاً شبه‌تصادفی با کمک تابع درهم‌ریز  $salsa20$  تولید می‌شود و از آن برای رمزکردن بلوک‌های  $8 \times 8$  تصویر طی دو دور انتشار (بدون مرحله اغتشاش) استفاده می‌شود. این مرحله نیز امنیت و حساسیت به کلید و تصویر را تضمین می‌کند. تحلیل‌های صورت گرفته، میزان کارآیی بالای این الگوریتم را از لحاظ امنیت در مقابل تمام حملات آماری، افسار گسیخته (با فضای کلید بزرگتر از  $2^{112}$ )، تفاضلی (با  $NPCR > 99/61\%$  و  $UACI > 33/45\%$ )، بی‌نظمی (بالتر از  $7/9975$ ) و ... نشان می‌دهد.

### کلیدواژه

رمزنگاری تصویر، روش خودوقتی، تابع درهم‌ریز، انتشار، بی‌نظمی و حساسیت.

### مقدمه

محرمانه، اهمیت این علم روزبه‌روز بیشتر می‌شود. روش‌های رمزنگاری نیز با گذشت زمان و انجام تحقیقات جدید پیچیده‌تر می‌شود تا با تقویت حوزه امنیت در ارتباطات، کاربران با آسودگی خاطر بیشتری به تبادل اطلاعات بپردازند. تاکنون روش‌های متفاوتی برای رمزنگاری داده، ارائه شده است. بیشتر روش‌های مطرح شده، رمز کردن به منظور داده‌های متنی بوده‌اند و نه تصویر. رمزنگاری تصویر به خاطر وجود ویژگی‌هایی همچون حجم بالای داده، تکرار زیاد اطلاعات و همبستگی بالا بین پیکسل‌ها متفاوت از رمزنگاری متن است. ویژگی حجم بالای داده، رمزنگاری تصویر را به صورت بی‌درنگ مشکل می‌سازد. خصوصیت تکرار زیاد اطلاعات سبب می‌شود که استفاده از روش‌های رمزنگاری سنتی مثل الگوریتم DES جهت رمز نگاری غیر موثر شود. همچنین ویژگی همبستگی بالا بین پیکسل‌ها، اجرای الگوریتم‌های درهم‌ریزی برای رمزنگاری با سرعت بالا را دشوار می‌کند. از این‌رو الگوریتم‌های رمزنگاری تصویر متنوعی برپایه

حفاظت از حریم خصوصی افراد از دغدغه‌ها و نیازهای اساسی جامعه انسانی است. بدون رعایت حریم خصوصی، اختلال سراسر جامعه را فرا می‌گیرد و کلیه ارتباطات از جمله اجتماعی و اقتصادی، ناممکن می‌شود. رمزنگاری به‌دنبال فرآیندی برای حفاظت از حریم خصوصی افراد، گروه‌ها و جوامع از دسترس اشخاص یا گروه‌های غیرمجاز است. رمزنگاری با تغییر شکل داده‌ها به‌گونه‌ای که تنها افراد مجاز بتوانند اطلاعات را به شکل اولیه‌اش بازگردانده و از آن استفاده کنند، کاربردهای گسترده در زمینه‌های مختلف دارد. با این حال نخستین بار که استفاده از رمزنگاری به شکل دقیق در تاریخ ثبت شده است، به دو هزار سال پیش از میلاد باز می‌گردد؛ هنگامی که ژولیوس سزار برای مکاتبات محرمانه‌اش از یک سیستم رمزنگاری ابتدایی استفاده می‌کرد. با گسترش ارتباطات در دنیای امروز، حرکت به سوی دهکده جهانی و بالا رفتن حجم اطلاعات به صورت فزاینده و به تبع آن اطلاعات

توابع آشوب [۳-۱]، اتومای سلولی [۵و۴]، روش‌های خودوقتی [۷و۶]، توابع درهم‌ریز [۸] و ... معرفی شده است. به طور عمده هسته اصلی سیستم‌های رمزنگاری مبتنی بر به هم ریختن پیکسل‌ها (اغتشاش<sup>۱</sup>) و تغییر مقادیر پیکسل‌ها (انتشار<sup>۲</sup>) است. در مرحله اغتشاش، پیکسل‌ها بدون اینکه مقدار سطح خاکستری آنها تغییر یابد، جابه‌جا می‌شوند؛ بنابراین هیستوگرام تصویر اصلی و تصویر رمز شده کاملاً مشابه یکدیگر بوده و در نتیجه رمزنگاری تنها با استفاده از اغتشاش امنیت چندانی نخواهد داشت. در مرحله انتشار، سطح خاکستری پیکسل‌های تصویر تغییر کرده و تغییر در یک پیکسل در کل تصویر انتشار می‌یابد؛ در نتیجه هیستوگرام‌های تصویر اصلی و رمز شده مشابه نخواهند بود و امنیت بالاتری در مقایسه با اغتشاش خواهد داشت.

الگوریتم‌هایی نیز در سال‌های اخیر معرفی شده‌اند که امنیت پایینی دارند؛ برای مثال در مقالات [۹و۷،۱]، به چند الگوریتم رمز از جمله [۱۰-۱۲] اشاره شده که با چندین حمله به آنها شکسته شده‌اند. بنابراین، هدف این مستند، غلبه بر این مشکلات با ارائه الگوریتمی با امنیت بالاست که از دو قسمت تشکیل شده است:

➤ رمزنگاری به روش خودوقتی: تصویر به چهار زیر تصویر تقسیم می‌شود. از یک زیر تصویر، ماسک‌هایی ساخته می‌شود و برای رمز کردن زیر تصویر دیگر استفاده می‌شود. از آنجا که تنها از اطلاعات خود تصویر استفاده می‌شود، حساسیت الگوریتم به تغییرات متن بسیار افزایش می‌یابد و آن را در مقابل حملات تفاضلی مقاوم می‌سازد.

➤ دو دور انتشار و حذف مرحله اغتشاش در رمزنگاری: تابع Salsa20 برای ایجاد یک ماسک  $8 \times 8$  کاملاً شبه تصادفی به کار گرفته می‌شود و با دو دور انتشار، تصویر رمز شده نهایی حاصل می‌شود.

بنابراین در بخش بعدی، به معرفی روش خودوقتی پیشنهادی و تابع درهم‌ریز Salsa20 پرداخته می‌شود. سپس الگوریتم رمزنگاری پیشنهادی معرفی می‌شود و امنیت و کارایی آن مورد ارزیابی قرار می‌گیرد و با روش‌های دیگر مقایسه می‌شود. در بخش آخر نیز جمع‌بندی و نتیجه‌گیری آورده شده است.

## روش تحقیق

در این بخش، عناصر سازنده الگوریتم پیشنهادی تشریح خواهند شد. شکل (۱) نیز نمایی کلی از الگوریتم رمزنگاری پیشنهادی ارائه می‌کند.

1. Self-Adaptive Method
2. Hash Function
3. Confusion
4. Diffusion

## روش خودوقتی پیشنهادی

روش خودوقتی به‌عنوان یک مرحله پیش‌پردازش و به منظور افزایش حساسیت الگوریتم به جزئی‌ترین تغییرات در تصویر اصلی پیشنهاد می‌شود. در این مرحله از ماسک‌هایی که از اطلاعات خود تصویر ایجاد می‌شود، استفاده خواهد شد (دلیل اصلی نام‌گذاری این مرحله به روش خودوقتی). در این فرآیند، ابتدا تصویر به چهار زیر تصویر تقسیم می‌شود. برای رمز کردن هر زیر تصویر، همان زیر تصویر و ماسک‌هایی که از پیکسل‌های زیر تصویر دیگر تشکیل شده‌اند، به کار برده می‌شوند. در این صورت، چنانچه پیکسلی از تصویر تغییر کند، این تغییر در کل تصویر انتشار می‌یابد و این امر باعث افزایش امنیت سیستم در مقابل حملات تفاضلی خواهد شد. طول و عرض تصویر باید با تکنیک پدگذاری مضربی از  $256$  باشد. طبق شکل (۲) تصویر به چهار زیر تصویر  $Se_1$ ،  $Se_2$ ،  $Se_3$  و  $Se_4$  تقسیم می‌شود که اندازه زیر تصاویرها برابر  $128 \times 128$  است. به منظور فهم بهتر این الگوریتم، ابتدا توصیفی از ساختار سیستم رمز کننده ارائه می‌شود:

➤ میانگین ستون‌های هر ردیف از زیر تصویر  $Se.x$  ( $MCR(Se.x)$ ): برای زیر تصویر  $Se.x$ ، همه مقادیر سطوح خاکستری ردیف  $i$ ،  $XOR$  می‌شوند که در آن  $x=1, 2, 3, 4$  و  $i=1, 2, \dots, 128$ . در نتیجه یک ماتریس با اندازه  $128 \times 128$  به دست می‌آید. برای داشتن یک پوشش  $128 \times 128$  این ماتریس  $128$  بار به صورت افقی به هم الحاق می‌شود.

➤ میانگین ردیف‌های هر ستون از زیر تصویر  $Se.x$  ( $MRC(Se.x)$ ): برای زیر تصویر  $Se.x$ ، همه مقادیر سطوح خاکستری ستون  $i$ ،  $XOR$  می‌شوند. در نتیجه یک ماتریس با اندازه  $128 \times 128$  به دست می‌آید. برای داشتن یک پوشش  $128 \times 128$  این ماتریس  $128$  بار به صورت عمودی به هم الحاق می‌شود.

برای رمز زیر تصویر اول ( $Se.1_{old}$ ) دو ماسک  $MRC(Se.4)$  و  $MRC(Se.4)$  از زیر تصویر چهارم محاسبه شده و با زیر تصویر اول  $XOR$  می‌شوند تا شکل رمز شده آن ( $Se.1_{new}$ ) ایجاد شود:

$$Se.1_{new} = Se.1_{old} \oplus MRC(Se.4_{old}) \oplus MRC(Se.4_{old}) \quad (1)$$

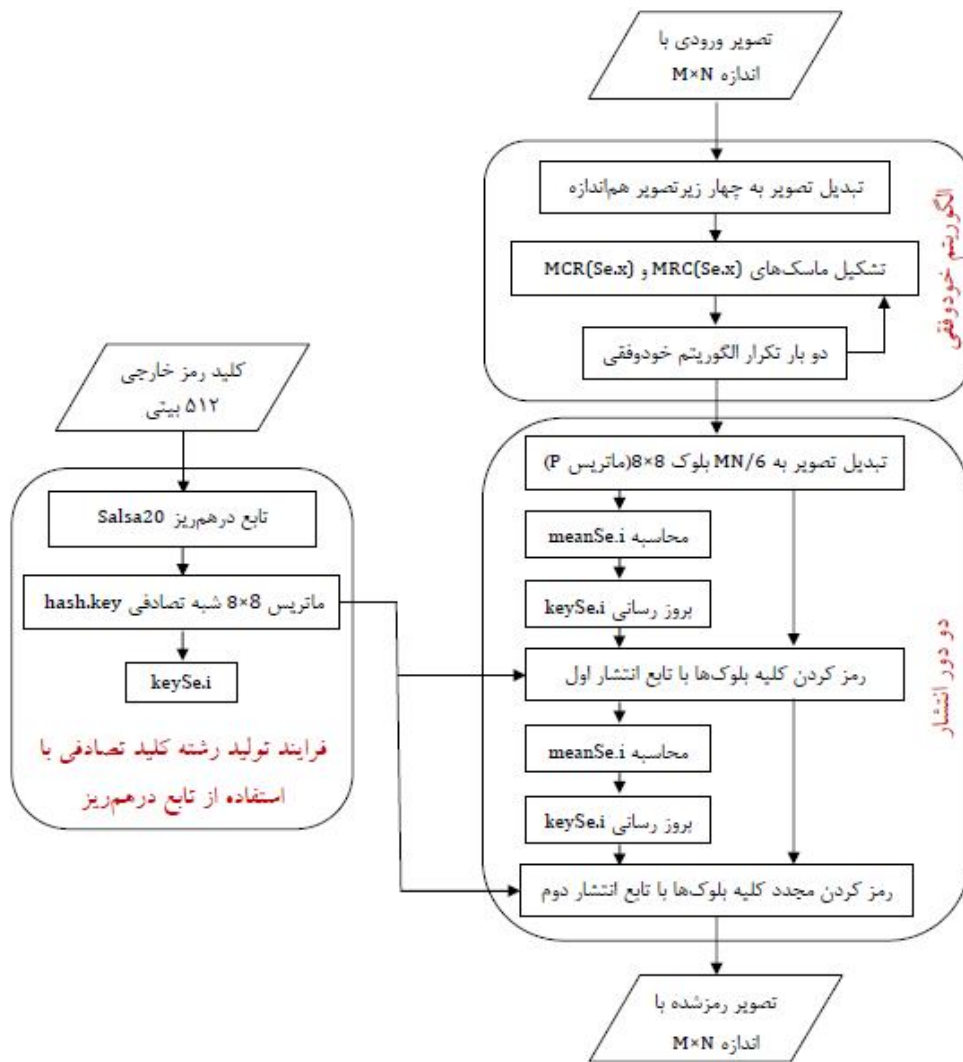
برای زیر تصویر دوم، ماسک‌های زیر تصویر سوم انتخاب می‌شوند (رابطه (۲)). زیر تصاویرهای دیگر نیز به همین صورت و طبق روابط زیر رمز می‌شوند:

$$Se.2_{new} = Se.2_{old} \oplus MRC(Se.3_{old}) \oplus MRC(Se.3_{old}) \quad (2)$$

$$Se.3_{new} = Se.3_{old} \oplus MRC(Se.2_{old}) \oplus MRC(Se.2_{old}) \quad (3)$$

$$Se.4_{new} = Se.4_{old} \oplus MRC(Se.1_{old}) \oplus MRC(Se.1_{old}) \quad (4)$$

توجه به این نکته ضروری است که در هر مرحله  $Se.i_{new}$  برای مرحله بعدی  $Se.i_{old}$  در نظر گرفته می‌شود.



شکل ۱. نمایی کلی از الگوریتم رمزنگاری پیشنهادی

$$Se.3_{new} = Se.3_{old} \oplus MCR(Se.1_{old}) \oplus MRC(Se.1_{old}) \quad (۶)$$

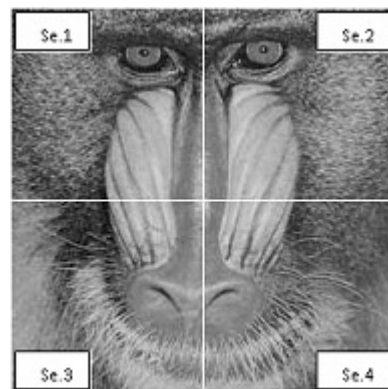
$$Se.1_{new} = Se.1_{old} \oplus MCR(Se.3_{old}) \oplus MRC(Se.3_{old}) \quad (۷)$$

$$Se.4_{new} = Se.4_{old} \oplus MCR(Se.2_{old}) \oplus MRC(Se.2_{old}) \quad (۸)$$

### تابع درهم ریز

یک تابع درهم ریز (چکیده ساز) عموماً نگاشتی است که رشته‌های با طول دلخواه را به رشته‌های با طول ثابت تبدیل می‌کند [۸]؛ به عبارت دیگر، یک تابع چکیده ساز  $H$ ، یک ورودی با طول دلخواه  $x$  را به یک خروجی با طول ثابت تبدیل می‌کند ( $y=H(x)$ ). سه شاخصه مهم زیر، تابع درهم ریز را به عنوان تابعی پرکاربرد در حوزه رمزنگاری تبدیل کرده است:

- یکطرفه بودن (معکوس پذیر نیستند).
- خروجی، اطلاعات ورودی را آشکار نمی‌سازد.
- برای دو ورودی مختلف، مقدار خروجی یکسان پیدا نمی‌شود.



شکل ۲. روش خودوقتی پیشنهادی: تبدیل تصویر به چهار زیر تصویر

با کنارهم گذاشتن چهار زیر تصویر، یک تصویر رمز شده به وجود می‌آید. برای ایجاد امنیت بالاتر از یک دور دیگر روش خودوقتی طبق معادلات (۵) تا (۸) استفاده می‌شود.

$$Se.2_{new} = Se.2_{old} \oplus MCR(Se.4_{old}) \oplus MRC(Se.4_{old}) \quad (۵)$$

آنگاه:

$$double-round(x) = row-round(column-round(x)) \quad (12)$$

واضح است که این تابع ابتدا سطرهای ماتریس  $X$  و سپس ستونهای آن را جابه‌جا می‌کند.

عملیات little-endian: اگر  $b = (b_0, b_1, b_2, b_3)$  یک دنباله ۴ بیتی باشد، little-endian(b) کلمه‌ای است که با رابطه‌ی زیر تعریف می‌شود:

$$littleendian(b) = b_0 + 2^8 b_1 + 2^{16} b_2 + 2^{24} b_3 \quad (13)$$

### تابع درهم‌ریز Salsa20

این الگوریتم از یک کلید رمز خارجی با طول ۵۱۲ بیت استفاده می‌کند. با فرض اینکه کلید رمز به صورت  $K=(k_0, k_1, \dots, k_{63})$

باشد، ابتدا تابع  $x_i$  ( $i=0, 1, \dots, 15$ ) به صورت زیر تعریف می‌شود:

$$x_i = littleendian(k_{4i}, k_{4i+1}, k_{4i+2}, k_{4i+3}) \quad (14)$$

دنباله‌ی ۱۶ کلمه‌ای حاصل طبق رابطه زیر به عنوان ورودی تابع double-round در نظر گرفته می‌شود و خروجی پس از ۱۰ بار استفاده از این تابع محاسبه می‌شود:

$$(z_0, z_1, \dots, z_{15}) = double-round^{10}(x_0, x_1, \dots, x_{15}) \quad (15)$$

در نهایت تابع salsa20(x) طبق رابطه زیر تعریف می‌شود:

$$salsa20(x) = x + double-round^{10}(x) \quad (16)$$

به عبارت دیگر، خروجی از الحاق  $z_i$  ( $i=0, 1, \dots, 15$ ) با  $x_i$  محاسبه می‌شود.

بنابراین Salsa20 یک تابع درهم‌ریز با ۶۴ بیت (۵۱۲ بیت) ورودی و ۶۴ بیت خروجی است که خروجی آن بسیار حساس به تغییرات در ورودی است و چنانچه یک بیت در ورودی تغییر کند، خروجی کاملاً متفاوتی خواهیم داشت. بدین‌صورت حساسیت به کلید را در الگوریتم پیشنهادی تضمین می‌نماید.

### الگوریتم رمزنگاری پیشنهادی

الگوریتم پیشنهادی برای رمزنگاری تصویر با ابعاد  $M \times N$  از دو مرحله تشکیل شده است: فرآیند ماسک‌گذاری (روش خودوقتی) و دو بار استفاده از فرآیند انتشار. تصویر رمز شده حاصل از پروسه ماسک‌گذاری دوباره در فرآیندهای انتشار، رمز شده و تصویر خروجی نهایی را با امنیت و حساسیتی بسیار بالا ایجاد می‌نماید.

### الگوریتم خودوقتی

تصویر ورودی به چهار زیرتصویر تقسیم شده و مطابق بخش قبل، هر زیرتصویر در دو مرحله با استفاده از ماسک‌هایی که از خود تصویر ساخته شده‌اند، رمز می‌شوند.

### دور اول استفاده از فرآیند انتشار

بنابراین در این مستند، برای ایجاد رشته کلید از تابع درهم‌ریز Salsa20 که در ادامه به معرفی آن پرداخته شده است، استفاده می‌شود.

### معرفی توابع سازنده تابع درهم‌ریز Salsa20

به منظور درک بهتر الگوریتم پیاده‌سازی شده در این بخش، ابتدا اجزای سازنده تابع درهم‌ریز معرفی می‌شود و در بخش بعد این تابع معرفی می‌شود [۱۳].

عملیات quarter-round: اگر  $y = \{y_0, y_1, y_2, y_3\}$  از چهار کلمه<sup>۵</sup> (۳۲ بیت) تشکیل شده باشد، آنگاه  $quarter-round(y) = \{z_0, z_1, z_2, z_3\}$  با رابطه زیر توصیف می‌شود:

$$\begin{aligned} z_1 &= y_1 \oplus bitshift((y_0 + y_3), 7) \\ z_2 &= y_2 \oplus bitshift((z_1 + y_0), 9) \\ z_3 &= y_3 \oplus bitshift((z_2 + z_1), 13) \\ z_0 &= y_0 \oplus bitshift((z_3 + z_2), 18) \end{aligned} \quad (9)$$

Bitshift(A,k) حاصل  $k$  بار شیفت عدد  $A$  را نشان می‌دهد. در این رابطه، ابتدا پارامترهای ورودی  $y = \{y_0, y_1, y_2, y_3\}$  تغییر کرده و پارامترهای خروجی  $\{z_0, z_1, z_2, z_3\}$  را ایجاد می‌کنند.

عملیات row-round: اگر  $y = \{y_0, y_1, y_2, y_3\}$  یک دنباله ۱۶ کلمه‌ای باشد، آنگاه دنباله  $row-round(y) = \{z_0, z_1, z_2, z_3\}$  از ۱۶ کلمه ایجاد شده است، با رابطه زیر توصیف می‌شود:

$$\begin{aligned} (z_0, z_1, z_2, z_3) &= quarter-round(y_0, y_1, y_2, y_3) \\ (z_5, z_6, z_7, z_4) &= quarter-round(y_5, y_6, y_7, y_4) \\ (z_{10}, z_{11}, z_8, z_9) &= quarter-round(y_{10}, y_{11}, y_8, y_9) \\ (z_{15}, z_{12}, z_{13}, z_{14}) &= quarter-round(y_{15}, y_{12}, y_{13}, y_{14}) \end{aligned} \quad (10)$$

اگر  $y = \{y_0, y_1, y_2, y_3\}$  یک ماتریس مربعی باشد، عملیات row-round با استفاده از تابع quarter-round سطرهای ماتریس  $y$  را به صورت موازی جابه‌جا می‌کند.

عملیات column-round: اگر  $y = \{y_0, y_1, \dots, y_{15}\}$  یک دنباله ۱۶ کلمه‌ای باشد، آنگاه دنباله  $column-round(y) = \{z_0, z_1, z_2, z_3\}$  با رابطه زیر تعریف می‌شود:

$$\begin{aligned} (z_0, z_4, z_8, z_{12}) &= quarter-round(y_0, y_4, y_8, y_{12}) \\ (z_5, z_9, z_{13}, z_1) &= quarter-round(y_5, y_9, y_{13}, y_1) \\ (z_{10}, z_{14}, z_2, z_6) &= quarter-round(y_{10}, y_{14}, y_2, y_6) \\ (z_{15}, z_3, z_7, z_{11}) &= quarter-round(y_{15}, y_3, y_7, y_{11}) \end{aligned} \quad (11)$$

اگر  $y = \{y_0, y_1, y_2, y_3\}$  یک ماتریس مربعی باشد، عملیات column-round ستونهای ماتریس  $y$  را به صورت موازی جابه‌جا می‌کند. در واقع این تابع ترانهاده تابع row-round است.

عملیات double-round: این تابع با استفاده از توابع row-round و column-round سطرها و ماتریسهای تابع ورودی را همزمان جابه‌جا می‌کند. به عبارت دیگر، اگر  $x$  یک دنباله ۱۶ کلمه‌ای باشد،

6. Concatenation

5. Word

**دور دوم استفاده از فرآیند انتشار**

**گام اول:** ترانهاده تابع C محاسبه شده و در همین تابع C دخیره می‌شود. بدیهی است که اندازه این تابع برابر با  $8 \times 8 \times MN$  است.  $i$  مساوی صفر قرار داده می‌شود ( $i \leftarrow 0$ ).

**گام دوم:** محاسبه  $meanSe.i$  و  $keySe.i$  با استفاده از روابط (۱۷) و (۱۸). اگر  $i=0$  است، الگوریتم از گام سوم و در غیر این صورت از مرحله چهارم ادامه می‌یابد.

**گام سوم:** رمزکردن مجدد اولین بخش از ماتریس رمز شده با استفاده از  $d_1$  و ماتریس‌های شبه تصادفی  $keySe.0$  و  $hash.key$ .

پس از اجرای این گام، الگوریتم از گام پنجم ادامه می‌یابد.

$$c_0 = c_0 \oplus \text{mod}(hash.key + d_1, 256) \oplus keySe.0 \quad (21)$$

**گام چهارم:** رمز کردن مجدد آمین بخش از ماتریس رمز با استفاده از رابطه زیر:

$$c_i = c_i \oplus \text{mod}(hash.key + c_{i-1}, 256) \oplus keySe.i \quad (22)$$

**گام پنجم:** در این گام یک واحد به مقدار  $i$  اضافه می‌شود ( $i \leftarrow i+1$ ). تا زمانی که  $i$  برابر  $MN/64-1$  نشده است، الگوریتم از مرحله دوم تکرار می‌شود.

**گام ششم:** ماتریس رمز شده با اندازه  $8 \times 8 \times MN$  است. با تبدیل این ماتریس به تصویری با اندازه  $M \times N$  تصویر رمز شده نهایی به دست خواهد آمد.

طبق روابط (۱۷) تا (۲۲) واضح است که برای رمز کردن هر بخش، چهار پارامتر زیر تأثیر گذارند:

➤  $Se.i$  در روابط (۱۹) و (۲۰) و همچنین  $c_i$  در روابط (۲۱) و (۲۲): پیکسل‌های مربوط به بخشی که در حال رمز شدن هستند.

➤  $c_{i-1}$ : پیکسل‌های رمز شده مربوط به بخش قبل که در تکرارهای قبلی به دست آمده‌اند.

➤  $hash.key$ : ماتریس (ماسک) شبه تصادفی اصلی که مستقیماً توسط تابع درهم‌ریز تولید شده است.

➤  $keySe.i$ : ماتریس (ماسک) شبه تصادفی تغییر یافته که پس از اعمال یکسری عملیات ریاضی روی ماتریس  $hash.key$  طبق روابط (۱۷) و (۱۸) به دست آمده است.

بنابراین این الگوریتم حساس به کوچکترین تغییرات در کلید و متن (تصویر اصلی) بوده و در مقابل حملات تفاضلی کاملاً مقاوم است.

روش رمزگشایی کاملاً مشابه الگوریتم رمزنگاری است، با این تفاوت که این فرآیند در جهت عکس الگوریتم رمزنگاری و از آخرین بخش از تصویر شروع می‌شود؛ به عبارت دیگر، ابتدا باید اثر دور دوم انتشار حذف شود (با شروع از آخرین بخش) و بعد از آن نیز با از بین بردن اثر دور اول انتشار، به مرحله خود وفقی

**گام اول:** اعمال کلید رمز خارجی ۵۱۲ بیتی (۶۴ بایت). این کلید در واقع ورودی تابع درهم‌ریز است و خروجی آن به صورت یک ماتریس  $8 \times 8$  تبدیل شده که آن را  $hash.key$  می‌نامیم.

**گام دوم:** تصویر ورودی به یک ماتریس با ابعاد  $8 \times MN/8$  تبدیل می‌شود. این ماتریس را  $P$  می‌نامیم و آن را به  $MN/64$  تا بخش  $P = \{Se.0, Se.1, Se.2 \dots Se.(MN/64-1)\}$  تقسیم می‌کنیم. دنباله ماتریس رمز را نیز به صورت  $C_{8 \times MN/8} = \{c_0, c_1, \dots, c_{MN/64-1}\}$  تعریف می‌کنیم که در آن  $c_i$  معرف آمین بخش از ماتریس رمز است (اندازه هر بخش:  $8 \times 8$ ). در ابتدا  $C$  مساوی  $P$  و  $i$  هم مساوی صفر قرار داده می‌شود ( $P \leftarrow C$  و  $i \leftarrow 0$ ).

**گام سوم:** محاسبه  $meanSe.i$  و  $keySe.i$  با استفاده از روابط زیر:

$$meanSe.i = \left( \left( \sum_{j=0}^{MN/64-1} mean2(c_j) \right) - mean2(c_i) \right) / (4 \times 256^4) \quad (17)$$

$$keySe.i = \text{floor}(\text{mod}(hash.key \times meanSe.i \times 10^{14}, 256)) \quad (18)$$

که  $mean2(c_i)$  میانگین تابع دوبعدی  $c_i$  را بر می‌گرداند. اگر  $i=0$  باشد الگوریتم از گام چهارم و در غیر این صورت از مرحله پنجم ادامه می‌یابد. چنانچه کوچک‌ترین پیکسلی در تصویر تغییر کند، آنگاه  $meanSe.i$  تغییر کرده و به خاطر وجود ضرب  $10^{14}$  در رابطه (۱۸)،  $keySe.i$  بسیار متفاوت از  $hash.key$  خواهد بود. لازم به ذکر است که اگر یک بیت از ۵۱۲ بیت مربوط به تابع درهم‌ریز تغییر کند،  $hash.key$  نیز کاملاً تغییر پیدا می‌کند. این دو موضوع حساسیت به جزئی‌ترین تغییرات در تصویر اصلی و کلید را تضمین می‌نماید.

**گام چهارم:** محاسبه اولین بخش از ماتریس رمز شده با توجه به رابطه زیر:

$$c_0 = Se.0 \oplus \text{mod}(hash.key + keySe.0, 256) \oplus keySe.0 \quad (19)$$

اندازه بخش  $c_0$  مانند سایر بخش‌های ماتریس رمز برابر  $8 \times 8$  است. پس از اجرای این گام، الگوریتم از گام ششم ادامه می‌یابد.

**گام پنجم:** محاسبه آمین بخش از ماتریس رمز شده با استفاده از رابطه (۲۰):

$$c_i = Se.i \oplus \text{mod}(hash.key + c_{i-1}, 256) \oplus keySe.i \quad (20)$$

**گام ششم:** در این گام یک واحد به مقدار  $i$  اضافه می‌شود ( $i \leftarrow i+1$ ). تا زمانی که  $i$  برابر  $MN/64-1$  نشده است، الگوریتم از مرحله سوم تکرار می‌شود.

با پایان این گام، ماتریس رمز شده‌ای به دست خواهد آمد که اندازه‌ای آن  $8 \times MN/8$  است. در نهایت، آخرین بخش از ماتریس رمز برابر با  $d_1$  قرار داده می‌شود ( $d_1 = c_{MN/64-1}$ ).

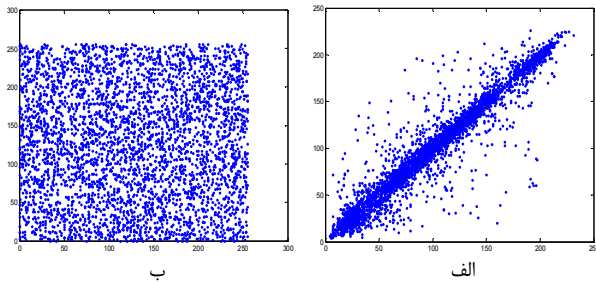
می‌رسیم. لازم به ذکر است که برای رمزگشایی در این مرحله، از معادلات (۸) تا (۱) استفاده می‌شود (ابتدا معادله (۸) و در آخرین گام معادله (۱) اجرا می‌شوند).

**ارزیابی کارایی و امنیت الگوریتم**

در این بخش، نتایج حاصل از شبیه‌سازی کامپیوتری برای بررسی کارایی و امنیت این الگوریتم جدید آورده شده است. مقایسه‌های انجام گرفته با روش‌های پیشنهادی در سال‌های اخیر، امنیت و حساسیت بالای این سیستم رمزنگاری را نشان می‌دهد.

$$r_{xy} = \frac{\text{cov}(x, y)}{\sqrt{D(x)}\sqrt{D(y)}} \quad (23)$$

که در آن  $E(x) = \frac{1}{N} \sum_{i=1}^N x_i$ ،  $E(y) = \frac{1}{N} \sum_{i=1}^N y_i$ ،  $\text{cov}(x, y) = \frac{1}{N} \sum_{i=1}^N (x_i - E(x))(y_i - E(y))$  و  $D(x) = \frac{1}{N} \sum_{i=1}^N (x_i - E(x))^2$



شکل ۳. تحلیل همبستگی پیکسل‌های مجاور. نحوه توزیع پیکسل‌ها در راستای افقی (الف) در تصویر اصلی و (ب) در تصویر رمز شده. نحوه توزیع پیکسل‌ها در راستای عمودی و قطری نیز به همین صورت می‌باشند

شکل (۳) و جدول (۱) نشان می‌دهند که الگوریتم رمزنگاری پیشنهادی به خوبی ضرایب همبستگی بین پیکسل‌های مجاور در تصویر رمز شده را کاهش داده و به عدد ایده‌آل صفر نزدیک کرده است. طبق جدول (۱)، روش پیشنهادی در مقایسه با مراجع [۱-۱۴، ۳-۱۶]، در کاهش همبستگی میان پیکسل‌ها به صورت موفق تری عمل کرده است.

### تحلیل فضای کلید

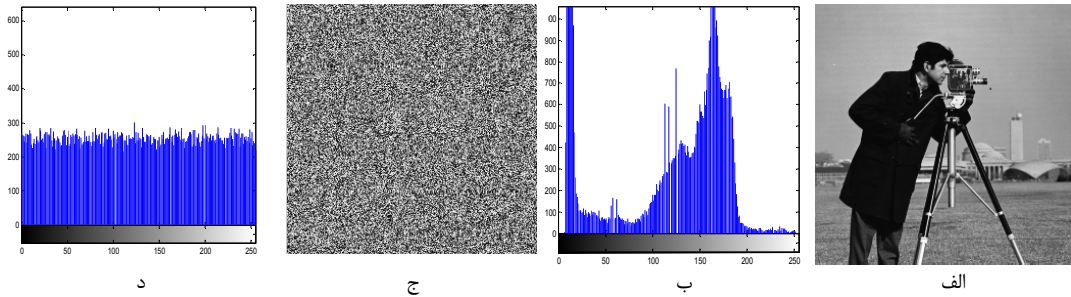
اندازه فضای کلید باید بزرگتر از  $2^{100}$  باشد تا در برابر تمامی حملات افسار گسیخته مقاوم باشد [۲۲، ۱۵، ۷، ۱]. همان‌طور که در بخش‌های قبل گفته شد، تابع salsa20، تابعی با ۶۴ بیت ورودی و ۶۴ بیت خروجی است. از آنجایی که کلید رمز این الگوریتم، ورودی ۶۴ بیتی (۵۱۲ بیتی) این تابع درهم‌ریز در نظر گرفته شده؛ در نتیجه، فضای کلید این الگوریتم برابر با  $2^{512}$  خواهد بود که بسیار بزرگتر از  $2^{100}$  است. این فضای کلید در مقایسه با مراجع [۸-۱] دارای امنیت بالاتری است.

### همبستگی میان پیکسل‌های مجاور

بررسی‌های آماری نشان می‌دهد که به طور میانگین در یک تصویر، ۸ تا ۱۶ پیکسل مجاور در امتداد عمودی، افقی و قطری دارای همبستگی هستند. یک الگوریتم رمزنگاری خوب باید بتواند این همبستگی را تا حد زیادی کاهش دهد. برای آزمون همبستگی

جدول ۱. ضرایب همبستگی پیکسل‌های همسایه در الگوریتم چهارم

الگوریتم	تصویر استاندارد	قدرمطلق ضریب همبستگی تصویر رمز شده در راستای		
		افقی	عمودی	قطری
الگوریتم پیشنهادی	لنا	۰/۰۰۰۲۰۹	۰/۰۰۰۷۸	۰/۰۰۰۵۸
	مرد فیلم‌بردار	۰/۰۰۰۲۳	۰/۰۰۰۲۲	۰/۰۰۰۱۲
	بابون	۰/۰۰۰۷۸	۰/۰۰۰۸۸	۰/۰۰۰۵۵
	فلفل	۰/۰۰۰۳۶	۰/۰۰۰۶۱	۰/۰۰۰۵۱
	الاین	۰/۰۰۰۷۹	۰/۰۰۰۸۵	۰/۰۰۰۸۴
	میانگین	۰/۰۰۰۴۷۴	۰/۰۰۰۶۶۸	۰/۰۰۰۵۲
مرجع [۱]	لنا	۰/۰۰۰۵۱	۰/۰۰۰۵۷۶۸	۰/۰۰۰۳۰
مرجع [۲]	لنا	۰/۰۰۱۰۰۵	۰/۰۰۰۸۵۰	۰/۰۰۰۸۹۷
مرجع [۳]	لنا	۰/۰۱۷۱۸۸	۰/۰۰۹۸۵۳	۰/۰۳۳۰۵۴۵
مرجع [۱۴]	میانگین	۰/۰۰۰۹۹	۰/۰۰۰۷۹	۰/۰۰۰۷۷
مرجع [۱۵]	Goldhill	۰/۰۰۰۳۳	۰/۰۰۰۷۶	۰/۰۰۰۶۶
مرجع [۱۶]	مرد فیلم‌بردار	۰/۰۰۱۲۸	۰/۰۰۰۲۶۱	۰/۰۰۰۱۴



شکل ۴. تحلیل هیستوگرام: الف: تصویر مرد فیلمبردار، ب: هیستوگرام تصویر اصلی، ج: تصویر رمز و د: هیستوگرام تصویر رمز

### هیستوگرام و آزمون «چی دو»

یک الگوریتم رمزنگاری خوب باید به گونه‌ای عمل کند که هیستوگرام تصویر رمز شده دارای ظاهری تصادفی و یکنواخت باشد تا حمله کننده با مشاهده هیستوگرام به هیچ اطلاعاتی دست پیدا نکند. میزان یکنواختی هیستوگرام را می توان با استفاده از رابطه‌ی (۲۴) که موسوم به آزمون «چی دو» است، به دست آورد [۱۷-۲۱]:

$$\chi^2 = \sum_{k=1}^{256} \frac{(v_k - 256)^2}{256} \quad (24)$$

$k$  تعداد سطوح خاکستری،  $O_k$  فراوانی هر سطح رنگ،  $E_k$  فراوانی مورد انتظار هر سطح خاکستری را نشان می دهند. هر چه مقدار عدد مربوط به آزمون «چی دو» کمتر باشد، توزیع سطح خاکستری در هیستوگرام، یکنواخت تر و ایده آل تر خواهد بود. این الگوریتم روی همه تصاویر استاندارد آزمایش شده و نتایج یکسان و قابل قبولی در تمام موارد داشته است. به عنوان مثال در شکل (۴)، هیستوگرام تصویر رمز شده کاملاً یکنواخت بوده و متفاوت از هیستوگرام تصویر اصلی است. بنابراین مهاجمان با بررسی هیستوگرام تصاویر رمز شده هیچ اطلاعاتی در مورد تصاویر اصلی به دست نخواهند آورد. در ستون سوم از جدول (۲) نتایج مربوط به آزمون «چی دو» آورده شده است. طبق این جدول، این عدد در الگوریتم پیشنهادی کمتر از مراجع [۱۴ و ۱] است که یکنواخت تر بودن هیستوگرام و شبه تصادفی تر بودن آن را نشان می دهد.

### تحلیل همبستگی میان دو تصویر

یکی دیگر از معیارهای ارزیابی، ضریب همبستگی دو بعدی (CC) است که مقایسه پیکسل به پیکسل تصویر اصلی با تصویر رمز شده (یا تصویر رمزگشایی شده) را انجام می دهد. چنانچه میزان این همبستگی عدد کوچک باشد (به سمت صفر میل کند)، بیانگر عدم وابستگی پیکسل های دو تصویر و در نتیجه ایده آل تر بودن الگوریتم رمزنگاری است. این معیار با رابطه زیر تعریف می شود [۲۱]:

$$CC = \frac{\left( \sum_{i=1}^M \sum_{j=1}^N (A_{ij} - \bar{A})(B_{ij} - \bar{B}) \right)}{\sqrt{\left( \sum_{i=1}^M \sum_{j=1}^N (A_{ij} - \bar{A})^2 \right) \left( \sum_{i=1}^M \sum_{j=1}^N (B_{ij} - \bar{B})^2 \right)}} \quad (25)$$

که در این رابطه  $A$  و  $B$  به ترتیب معرف تصویر اصلی و تصویر رمز شده با ابعاد  $M \times N$  می باشند.  $\bar{A}$  و  $\bar{B}$  نیز نشان دهنده مقدار میانگین ماتریس های تصویر اصلی و رمز شده هستند. مقادیر CC مربوط به تصاویر مختلف در جدول (۲) آورده شده است و مطابق آن، الگوریتم جدید در مقایسه با مرجع [۲] عملکرد بهتری دارد.

### مجذور اختلاف بین تصویر اصلی و تصویر رمز شده

با اعمال رمزنگاری به تصویر، تغییراتی در مقادیر پیکسل ها ایجاد می شود که با مقادیر قبل از اعمال رمز متفاوتند. تغییرات بیشتر در مقادیر پیکسل ها، نشان دهنده موثرتر بودن رمزنگاری و در نتیجه، بهتر بودن کیفیت رمزنگاری است. دو پارامتر مهم در محاسبه کیفیت رمزنگاری MSE و PSNR هستند که با روابط زیر محاسبه می شوند:

$$MSE = \frac{1}{M \times N} \sum_{i=1}^M \sum_{j=1}^N (P(i,j) - C(i,j))^2 \quad (26)$$

$$PSNR = 20 \log_{10} \left[ \frac{I_{max}}{\sqrt{MSE}} \right]$$

MSE بالاتر و PSNR پایین تر، تفاوت بیشتر میان تصویر اصلی و رمز شده (حالت ایده آل تر در رمزنگاری) را نشان می دهند. ستون پنجم و ششم جدول (۲) مقادیر MSE و PSNR را نمایش می دهند. این مقادیر در روش پیشنهادی در مقایسه با مراجع [۱۴ و ۱] وضعیت مطلوب تری دارند.

### بی نظمی (آنتروپی)

بی نظمی اطلاعات یک تئوری ریاضی برای ارتباط داده ای و ذخیره سازی است که در سال ۱۹۴۹ توسط شانون معرفی شد. بی نظمی به صورت زیر تعریف می شود [۱]:

$$H(s) = \sum_{i=0}^{2^N-1} P(s_i) \log_2 \frac{1}{P(s_i)} \quad (27)$$

که در آن  $N$  برابر با تعداد سطح خاکستری استفاده شده در تصویر و  $P(s_i)$  نشان دهنده احتمال وقوع سطح خاکستری  $i$ ام در تصویر خواهند بود. هر چقدر مقدار به دست آمده برای آنتروپی در یک روش به عدد ایده آل ۸ نزدیکتر باشد، تصویر رمز شده ظاهر شبه تصادفی بیشتری داشته و در نتیجه الگوریتم، امنیت بالاتری را تضمین می کند [۲۲-۲۶].

اشغال می‌شود. در واقع در این مقاله، با استفاده از رمزنگاری، میزان بی‌نظمی در تصویر افزایش یافته و به تبع آن اطلاعات درون تصویر کاهش می‌یابد که این امر سبب کاهش پهنای باند اشغالی می‌شود.

این نشان می‌دهد که نشت اطلاعات در فرآیند رمزنگاری در مقایسه با مقالاتی همچون [۱،۲] بسیار کمتر و در نتیجه سیستم رمزنگاری در مقابل حملات بی‌نظمی مصون‌تر است. لازم به ذکر است که هر قدر میزان اطلاعات موجود در تصویر بالاتر باشد، پهنای باند بیشتری برای ذخیره‌سازی یا انتقال تصویر

جدول ۲. بررسی کیفیت الگوریتم رمزنگاری پیشنهادی

الگوریتم	تصویر استاندارد	آزمون چی دو	قدر مطلق CC	MSE	PSNR	بی‌نظمی
روش پیشنهادی	لنا	۱۸۱/۵۱	۰/۰۰۱۹۸	۸۹۶۲	۸/۶۰۷۰	۷/۹۹۸۰
	مرد فیلمبردار	۲۱۱/۴۵	۰/۰۰۲۵۸	۷۳۶۴	۹/۴۵۹۸	۷/۹۹۷۷
	بابون	۲۵۴/۰۷	۰/۰۰۲۶۸	۹۳۸۵	۸/۴۰۶۴	۷/۹۹۷۳
	فلفل	۲۵۵/۸۶	۰/۰۰۳۲۱	۸۷۴۱	۸/۷۱۵۰	۷/۹۹۷۵
	الاین	۲۵۳/۸۸	۰/۰۰۳۰۹	۷۶۶۰	۹/۳۸۸۶	۷/۹۹۷۲
	میانگین	۲۳۳/۵۵	۰/۰۰۲۷۱	۸۴۲۲	۸/۸۹۵۴	۷/۹۹۷۵۴
مرجع [۱]	میانگین در ۵ تصویر فوق	۲۲۷/۰۵	۰/۰۰۲۵۴	۸۳۴۹	۸/۹۳۳۶	۷/۹۹۷۴۸
مرجع [۲]	میانگین	-	۰/۰۰۳۶۷	-	۹/۰۳۴۸	۷/۹۹۷۲
مرجع [۱۴]	میانگین	۲۶۴/۵	-	۸۳۶۹	-	-

### تحلیل حساسیت (ویژگی انتشار)

یک روش رمزنگاری کارا باید ویژگی انتشار را برآورده کند؛ به این معنی که هر تغییر کوچک در تصویر اصلی و کلید محرمانه باید تصویر رمز شده کاملاً متفاوتی را موجب شود [۲۲]. یکی از حمله‌های متداول و مهم، حمله تفاضلی است که در این نوع حمله، فرد مهاجم یک تغییر بسیار کوچک (برای مثال تغییر مقدار تنها یک پیکسل) در تصویر ایجاد و نتیجه رمزنگاری را بررسی می‌کند تا به ارتباط معنی‌داری میان تصاویر دست پیدا کند. چنانچه یک تغییر بسیار جزئی در تصویر اصلی موجب تغییرات بسیار بزرگ در تصویر رمز شده شود (در اثر وجود دو فرآیند اغتشاش و انتشار)، این نوع حمله با شکست روبه‌رو می‌شود. در تعیین میزان حساسیت از دو پارامتر  $^A$  NPCR و  $^A$  UACI استفاده می‌شود. مقدار مورد انتظار برای این پارامترها به ترتیب برابر با  $۹۹/۶۰۳۷$  درصد و  $۳۳/۴۶۳۵۴$  درصد است [۱]. برای محاسبه این معیارها، ابتدا دو تصویر رمز شده  $C_1$  و  $C_2$  را در نظر بگیرید که تصاویر اولیه آنها تنها در یک پیکسل با یکدیگر اختلاف دارند. سپس NPCR (درصد تعداد پیکسل‌های متفاوت بین دو تصویر رمز شده) و UACI (میانگین اختلاف شدت نور میان دو تصویر) با روابط زیر محاسبه می‌شوند.

$$NPCR = \frac{\sum_{i,j} D(i,j)}{M \times N} \times 100\% \quad (28)$$

$$UACI = \frac{1}{M \times N} \left[ \sum_{i,j} \frac{|C_1(i,j) - C_2(i,j)|}{255} \right] \times 100\%$$

$D(i, j) = C_1(i, j) = C_2(i, j)$  و در غیر این صورت برابر صفر در نظر گرفته می‌شود. بررسی ویژگی انتشار در دو مرحله انجام می‌گیرد:

➤ ایجاد یک تغییر کوچک در تصویر اصلی و محاسبه میزان تغییر در تصویر رمز شده (حساسیت به متن اصلی).

این آزمون برای هر تصویر ۱۰۰ بار به صورت کاملاً تصادفی تکرار شده است. مقادیر حداکثر، حداقل و میانگین NPCR و UACI برای کلیه تصاویر در جدول (۳) نشان داده شده است. با توجه به نتایج شبیه‌سازی، سیستم رمزکننده ارائه شده عملکرد موفقیت‌آمیزی در مقابل این آزمون با مقادیر  $NPCR > ۳۳/۶۱۰۳$  و  $UACI > ۳۳/۴۵۳۷$  نشان داده است.

➤ ایجاد یک تغییر کوچک در کلید رمز خارجی و محاسبه میزان تغییر در تصویر رمز شده (حساسیت به کلید).

از دو کلید key1 و key2 که تنها در آخرین بیت آخرین بایت‌شان (بیت ۵۱۲) با هم تفاوت دارند، برای تعیین حساسیت الگوریتم استفاده شده است که به صورت زیر هستند:

8. Number of Pixels Change Rate  
9. Unified Average Changing Intensity

Key1={101, 120, 112, 124, 1, 2, 3, 4, 5, 6, 7, 8, 9, 10, 11, 12, 13, 14, 15, 16, 110, 100, 32, 49, 101, 102, 103, 104, 105, 106, 107, 108, 109, 110, 111, 112, 113, 114, 115, 116, 54, 45, 98, 121, 1, 2, 3, 4, 5, 6, 7, 8, 9, 10, 11, 12, 13, 14, 15, 16, 116, 101, 32, 107}

Key2={101, 120, 112, 124, 1, 2, 3, 4, 5, 6, 7, 8, 9, 10, 11, 12, 13, 14, 15, 16, 110, 100, 32, 49, 101, 102, 103, 104, 105, 106, 107, 108, 109, 110, 111, 112, 113, 114, 115, 116, 54, 45, 98, 121, 1, 2, 3, 4, 5, 6, 7, 8, 9, 10, 11, 12, 13, 14, 15, 16, 116, 101, 32, 106}.

جدول ۳. تحلیل حساسیت الگوریتم به تصویر اصلی (متن)

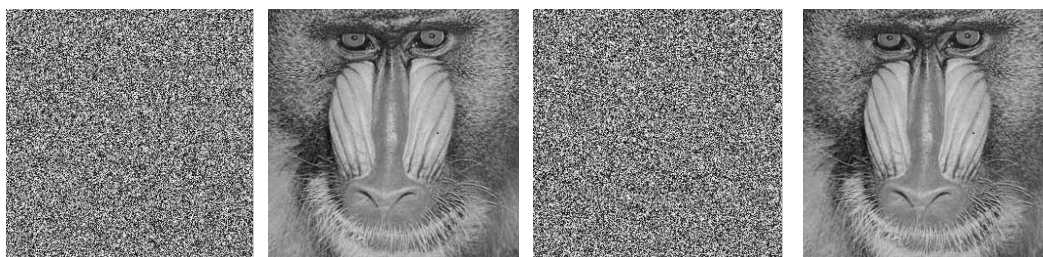
UACI			NPCR			تصویر استاندارد	الگوریتم
میانگین	حداقل	حداکثر	میانگین	حداقل	حداکثر		
۳۳/۵۲۳۳	۳۳/۳۰	۳۳/۶۹	۹۹/۶۱۱۶	۹۹/۴۹	۹۹/۶۷	لنا	الگوریتم پیشنهادی
۳۳/۴۸۴۳	۳۳/۲۲	۳۳/۶۷	۹۹/۶۱۱۲	۹۹/۵۶	۹۹/۶۸	مرد فیلمبردار	
۳۳/۴۱۵۹	۳۳/۲۱	۳۳/۶۱	۹۹/۶۰۸۰	۹۹/۵۲	۹۹/۶۵	بابون	
۳۳/۴۳۵۰	۳۳/۲۴	۳۳/۶۱	۹۹/۶۱۱۴	۹۹/۵۵	۹۹/۶۷	فلفل	
۳۳/۴۰۹۹	۳۳/۱۸	۳۳/۶۷	۹۹/۶۰۹۳	۹۹/۵۶	۹۹/۶۶	الاین	
۳۳/۴۵۳۷			۹۹/۶۱۰۳			میانگین	
۳۳/۴۶۳۵			۹۹/۶۰۹۳			میانگین	مرجع [۱]
۳۳/۴۷			۹۹/۶۱			لنا	مرجع [۲]
۳۳/۴۲۴۳			۹۹/۵۸۵۶			لنا	مرجع [۳]
۰/۳۱۹۲			۹۹/۶۰			مرد فیلمبردار	مرجع [۱۶]

### معیار بهمنی

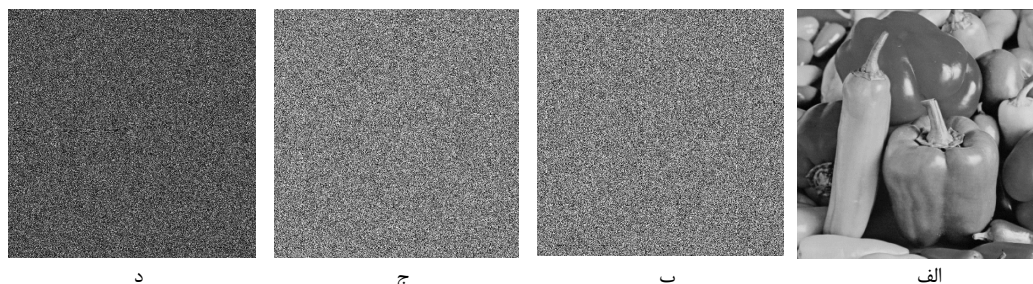
تغییر یک بیت از تصویر اصلی از لحاظ تئوری باید تصویر رمزشده‌ای به وجود آورد که در آن ۵۰ درصد بیت‌های آن تغییر کرده باشند. از این رو به منظور اثبات آنچه حساسیت به تصویر ورودی خوانده می‌شود، دو تصویر اصلی ورودی با تنها یک بیت اختلاف رمزنگاری می‌شوند. نرخ تغییر بیت‌ها برای تصویر رمزشده به مقالات [۲۱، ۱۵، ۷، ۳] به مراتب به مقدار ایده‌آل ۵۰ درصد نزدیک‌تر است.

**آزمایش اول:** شکل (۵) نشان می‌دهد تصویری را که با کلید key1 رمزشده است، تنها با همان کلید key1 می‌توان رمزگشایی کرد و چنانچه کوچک‌ترین تغییری (حتی یک بیت) در کلید ایجاد شود، هیچ‌گاه تصویر اصلی بازیابی نخواهد شد.

**آزمایش دوم:** شکل (۶) حساسیت بسیار بالای الگوریتم را به جزئی‌ترین تغییرات در کلید رمز خارجی نشان می‌دهد؛ چنانچه تنها یک بیت از ۵۱۲ بیت کلید تغییر کند، تصاویر رمزشده‌ای خواهیم داشت که ۹۹/۶۵ درصد پیکسل‌های آنها سطح خاکستری متفاوتی دارند. بنابراین الگوریتم ارائه شده، به کوچک‌ترین تغییرات داخل تصویر و کلید رمز، بسیار حساس است.



شکل ۵. تحلیل حساسیت الگوریتم به کلید رمز ۵۱۲ بیتی. الف) تصویر استاندارد بابون، ب) تصویر رمزشده با کلید key1، ج) تصویر رمزگشایی شده با کلید key1، و د) تصویر بازیابی شده با کلید key2



شکل ۶. حساسیت الگوریتم به کلید رمز خارجی. الف) تصویر استاندارد فلفل، ب) تصویر رمز شده با کلید key1، ج) تصویر رمز شده با کلید key2، و د) قدرمطلق تفریق تصویر (ب) و (ج) (۹۹/۶۵ درصد پیکسل‌های دو تصویر سطح خاکستر متفاوتی دارند)

### تست سرعت

روش پیشنهادی و چندین الگوریتم دیگر در نرم‌افزار ( MATLAB (7.6.0.324 (R2008a) روی کامپیوتر شخصی با CPU 2.4 GHz، ۴ گیگابایت حافظه، ۶۴۰ گیگابایت هارد و ویندوز ۷ شبیه‌سازی شده‌اند. زمان این الگوریتم‌ها برای رمز کردن تصویر لنا با اندازه ۲۵۶×۲۵۶ به ترتیب برابر با ۰/۴ ثانیه (الگوریتم پیشنهادی)، ۰/۶۹ ثانیه [۲]، ۰/۸۳ ثانیه [۱۱]، ۳ ثانیه [۲۳] و ۲/۹ ثانیه [۲۴] به دست آمده است. این نتایج نشان می‌دهد که ساختار پیشنهادی، عملکرد سریع‌تری در کاربردهای بلادرنگ رمزنگاری نسبت به روش‌های بررسی شده دارد.

### مقایسه با روش‌های دیگر

جدول (۴) الگوریتم پیشنهادی را با پنج الگوریتم دیگر [۱۷/۳-۲۰] مقایسه می‌کند. با توجه به این جدول، این الگوریتم دارای فضای کلید بسیار بزرگ و بی‌نظمی بالایی است؛ در مقابل حملات تفاضلی با داشتن NPCR و UACI بالا، بسیار مقاوم بوده و به صورت کارآمدی پیوستگی میان پیکسل‌های مجاور را کاهش می‌دهد. در اکثر مقالات، بیشتر شبیه‌سازی‌ها و مقایسه‌ها فقط روی یک تصویر «لنا» انجام شده و بنابراین در این جدول، هم مقادیر تصویر لنا و هم مقادیر میانگین آمده است.

جدول ۴. مقایسه الگوریتم پیشنهادی با الگوریتم‌های دیگر

الگوریتم	تصویر	فضای کلید	میانگین ضرایب پیوستگی	بی‌نظمی	UACI (%)	NPCR (%)
الگوریتم پیشنهادی	لنا	۲ <sup>۵۱۲</sup>	۰/۰۰۰۵۲۳	۷/۹۹۸۰	۳۳/۵۲۳۳	۹۹/۶۱۱۶
	میانگین		۰/۰۰۰۵۵۴	۷/۹۹۷۵	۳۳/۴۵۳۷	۹۹/۶۱۰۳
مرجع [۳]	لنا	۴×۱۰ <sup>۲۸</sup>	۰/۰۲۰۰۲۹	۷/۹۹۷۱	۳۳/۴۲	۹۹/۵۸۵۶
مرجع [۱۷] بعد از دو مرحله رمزنگاری	لنا	۲ <sup>۱۰۴</sup>	۰/۰۰۱۵۸۲	۷/۹۹۷۵	۳۳/۴۷۵۸	۹۹/۶۰۶۳
مرجع [۱۸]	لنا	۱۰ <sup>۴۸</sup>	۰/۰۰۲۷	۷/۹۹۶۷	۲۸/۲۷	۹۹/۵۴
مرجع [۱۹]	کشتی	۳ <sup>۱۸۶</sup>	۰/۰۰۳۳۳۳	۷/۹۹۷۲	۰/۳۹	۹۹/۵۴
مرجع [۲۰]	باربارا	۲ <sup>۲۶۰</sup>	۰/۰۰۲۱۶۷	۷/۹۹۶۸	۰/۳۳۲۵	۹۹/۵۸۰۴

### نتیجه‌گیری

رمزنگاری تصویر به دلیل برخی ویژگی‌های ذاتی آن همچون حجم بالای داده‌ها و همبستگی زیاد میان پیکسل‌ها، متفاوت از رمزنگاری متن است، بنابراین روش‌های کلاسیک رمزنگاری متن مانند DES برای این منظور چندان کارآمد نیستند. در این مقاله، یک الگوریتم جدید بر پایه روش خودوفقی و تابع درهم‌ریز برای رمزنگاری تصویر پیشنهاد شده است. در روش خودوفقی پیشنهادی، تصویر به چهار زیرتصویر تقسیم می‌شود که هر زیرتصویر تنها با استفاده از ماسک‌هایی که از زیر تصویر دیگر ساخته شده‌اند، رمز می‌شود. هدف از این مرحله افزایش حساسیت الگوریتم به جزئی‌ترین تغییرات در تصویر اصلی است. در مرحله بعد، یک ماتریس ۸×۸ کاملاً شبه‌تصادفی با کمک تابع درهم‌ریز

salsa20 تولید می‌شود و از آن برای رمزکردن بلوک‌های ۸×۸ تصویر طی دو دور انتشار (بدون مرحله اغتشاش) استفاده می‌شود. این مرحله نیز امنیت و حساسیت به کلید و تصویر را تضمین می‌کند. شبیه‌سازی‌های گوناگونی به منظور تحلیل امنیت و کارایی الگوریتم انجام شد. یکنواختی هیستوگرام تصویر رمز شده، نزدیک بودن میزان بی‌نظمی به عدد ۸، فضای کلید بزرگ، کاهش قابل توجه میزان همبستگی میان پیکسل‌های مجاور در تصویر رمز و ... همگی تأییدکننده کارایی بالای این سیستم در کاربردهای رمزنگاری و مقاوم بودن آن در برابر تمام حملات هستند. همچنین حساسیت بالای الگوریتم به تصویر اصلی مانع هرگونه حمله تفاضلی و حمله متن اصلی معلوم می‌شود. مقایسه‌های انجام شده با مقالات ارائه شده در سال‌های اخیر، نشان می‌دهد که روش

[14] S. E. Borujeni and M. Eshghi, "Chaotic Image Encryption System using Phase-Magnitude Transformation and Pixel Substitution," *J. Telecommun. Syst.* DOI:10.1007/s11235-011-9458-8. 2011.

[15] A. Akhshani, S. Behnia, A. Akhavan, H. A. Hassan, and Z. Hassan, "A Novel Scheme for Image Encryption based on 2D Piecewise Chaotic Maps," *Journal of Optics Communications*, Vol. 283, pp. 3259–3266, 2010.

[16] F. Sun, S. Liu, Z. Li, and Z. Lu, "A Novel Image Encryption Scheme based on Spatial Chaos Map," *Journal of Chaos, Solitons and Fractals*, Vol. 38, pp. 631–640, 2008.

[17] G. Zhang, and Q. Liu, "A Novel Image Encryption Method based on Total Shuffling Scheme," *Journal of Optics Communications*, Vol. 284, pp. 2775–2780, 2011.

[18] C. K. Huang, C. W. Liao, S. L. Hsu, and Y. C. Jeng, "Implementation of Gray Image Encryption with Pixel Shuffling and Gray-Level Encryption by Single Chaotic System," *Journal of Telecommunication Systems*, Vol. 52, Issue 2, pp. 563-571, 2013.

[19] S. Behnia, A. Akhshani, S. Ahadpour, H. Mahmodi, and A. Akhavan, "A Fast Chaotic Encryption Scheme based on Piecewise Nonlinear Chaotic Maps" *Journal of Physics Letters A*, Vol. 366, pp. 391–396, 2007.

[20] S. Behnia, A. Akhshani, H. Mahmodi, and A. Akhavan, "A Novel Algorithm for Image Encryption based on Mixture of Chaotic Maps," *Journal of Chaos, Solitons and Fractals*, Vol. 35, pp. 408–419, 2008.

[21] A. Kumar and M. K. Ghose, "Extended Substitution–Diffusion based Image Cipher using Chaotic Standard Map," *Journal of Commun Nonlinear Sci Numer Simulat*, Vol. 16, pp. 372–382, 2011.

[۲۲] ب. نوروزی، س. میرزاکوچکی، ز. نوروزی، پ. نوروزی، «الگوریتم رمزنگاری تصویر با استفاده از نگاشت آشوب و محاسبات DNA» فصلنامه صنایع الکترونیک، دوره ۳، شماره ۳، صفحه ۸۳–۱۲۳، پاییز ۱۳۹۱.

[23] T. Gao and Z. Chen, "Image Encryption based on a New Total Shuffling Algorithm," *Journal of Chaos, Solitons and Fractals*, Vol. 38, pp. 213–220, 2008.

[24] Z. L. Zhu, W. Zhang, K. W. Wong, and H. Yu, "A Chaos-based Symmetric Image Encryption Scheme Using a Bit-Level Permutation," *Journal of Information Sciences*, Vol. 181, pp. 1171-1186, 2011.

[25] B. Norouzi, S. M. Seyedzadeh, S. Mirzakuchaki, and M. R. Mosavi, "A Novel Image Encryption based on Hash Function with Only Two Diffusion Process," *Multimedia Systems*, DOI: 10.1007/s00530-013-0314-4, 2013.

[26] B. Norouzi, S. M. Seyedzadeh, S. Mirzakuchaki, and M. R. Mosavi, "A Novel Image Encryption based on Row-Column, Masking and Main Diffusion Processes with Hyper Chaos," *Multimedia Tools and Applications* DOI: 10.1007/s11042-013-1699-y, 2013.

پیشنهادی به مراتب دارای عملکرد بهتری بوده و امنیت بیشتری در مقابل انواع حملات را دارد.

## مرجع‌ها

[1] B. Norouzi, S. Mirzakuchaki, S. M. Seyedzadeh, and M. R. Mosavi, "A Simple, Sensitive and Secure Image Encryption Algorithm based on Hyper-Chaotic System with Only One Round Diffusion Process," *Multimedia Tools and Applications*, DOI 10.1007/s11042-012-1292-9, 2012.

[2] C. Zhu, "A Novel Image Encryption Scheme based on Improved Hyperchaotic Sequences," *Journal of Optics Communications*, Vol. 285, pp 29–37, 2012.

[3] X. Tong, M. Cui, and Z. Wang, "A New Feedback Image Encryption Scheme based on Perturbation with Dynamical Compound Chaotic Sequence Cipher Generator," *Journal of Optics Communications*, Vol. 282, pp. 2722-2728, 2009.

[4] J. Jin and Z.-h Wu, "A Secret Image Sharing based on Neighborhood Configurations of 2-D Cellular Automata," *Optics & Laser Technology*, Vol. 44, Issue 3, pp. 538-548, 2012.

[5] A.A. Abdo, S. Lian, I. A. Ismail, M. Amin, and H. Diab, "A Cryptosystem based on Elementary Cellular Automata," *Commun Nonlinear Sci Numer Simulat*, Vol. 18, Issue 1, pp. 136-147, 2013.

[6] X. Liao, S. Lai, and Q. Zhou, "A Novel Image Encryption Algorithm based on Self-Adaptive Wave Transmission," *Signal Processing*, Vol. 90, pp. 2714–2722, 2010.

[7] S. M. Seyedzadeh, and S. Mirzakuchaki, "A Fast Color Image Encryption Algorithm based on Coupled Two-Dimensional Piecewise Chaotic Map," *Signal Processing*, Vol. 92, pp.1202–1215, 2012.

[8] A. Cheddad, J. Condell, K. Curran, and P. M. Kevitt, "A Hash-based Image Encryption Algorithm," *Optics Communications*, Vol. 283, pp. 879-893, 2010.

[9] R. Rhouma and S. Belghith, "Cryptanalysis of a New Image Encryption Algorithm based on Hyper-Chaos," *Physics Letters A*, Vol. 372, pp. 5973–5978, 2008.

[10] J. C. Yen and J. I. Guo, "A New Chaotic Key-based Design for Image Encryption and Decryption," *Proceedings of the IEEE International Conference on Circuits and Systems*, Vol. 4, pp. 49-52, 2000.

[11] T. Gao and Z. Chen, "A New Image Encryption Algorithm based on Hyper-Chaos," *Physics Letters A*, Vol. 372, pp. 394–400, 2008.

[12] E. Alvarez, A. Fernandez, P. García, J. Jimenez and A. Marcano, "New Approach to Chaotic Encryption," *Physics Letters A*, Vol. 263, pp. 373–375, 1999.

[13] D. J. Bernstein, "Salsa20 Specification," <http://cr.yp.to/snuffle.html#xsalsa>, 2005.

